

# 13ème Colloque National en Calcul des Structures

V. Acary<sup>1</sup>, M. Brémond<sup>2</sup>, F. Dubois<sup>1</sup>

<sup>1</sup> *INRIA. Grenoble, {vincent.acary,maurice.bremond}@inria.fr*

<sup>2</sup> LMGC, Université de Montpellier, frederic.dubois@umontpellier.fr

[illegible]

**Mots clés** — mot clef1, mot clef2, mot clef3.

# 1 Introduction

- Description du problème de frottement discret
- Problème de rang de H
- Objectifs du papier
  1. Comparaison performance NSGS/NSN sur des déformables et des rigides.
  2. Intérêt à passer en déformable pour ajouter des ddl.

## 2 Méthodes numériques de résolution

### 3 Profils de performance

## 4 Comparaison sur des solides élastiques

## 4.1 La murette

## 4.2 Résultats

## 5 Comparaison sur des solides rigides

## 6 Utilisation des solides élastiques pour améliorer la convergence

## 7 Conclusion

parrallelisme.

## 7.1 Références bibliographiques

Les références sont à insérer en fin de document, numérotées par ordre alphabétique des auteurs. Trois exemples de références sont proposés : un article [1] et un acte [2] et un livre [3].

## Références

- [1] P. Auteur, D. Auteur, T. Auteur. *Titre de l'article*, Revue, Éditeur, page1-pageN, Année.

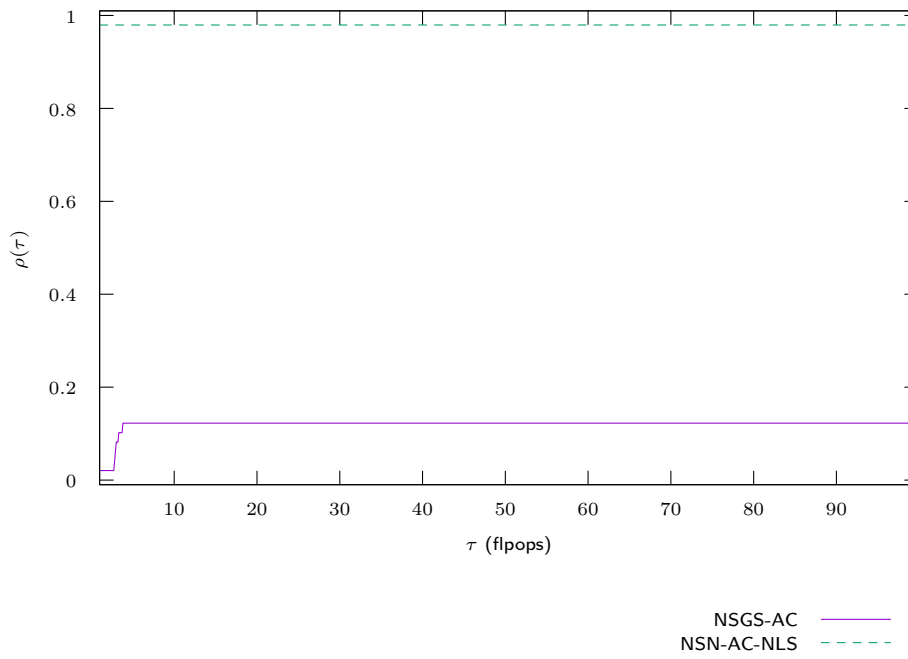


FIGURE 1 – Comparaison entre le solveur NSGS-AC et NSN-AC pour une precision de  $10^{-3}$

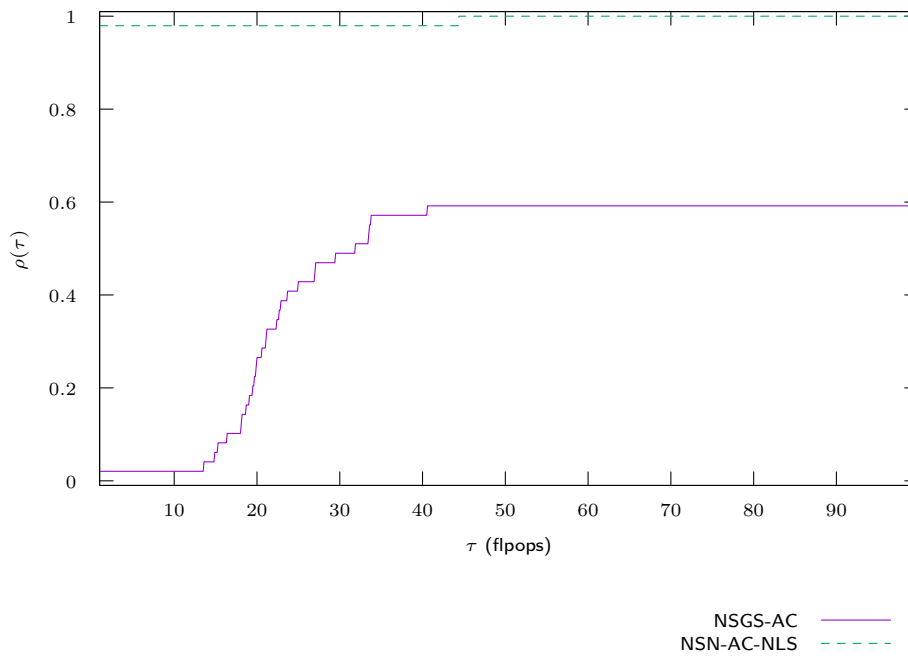


FIGURE 2 – Comparaison entre le solveur NSGS-AC et NSN-AC pour une precision de  $10^{-4}$

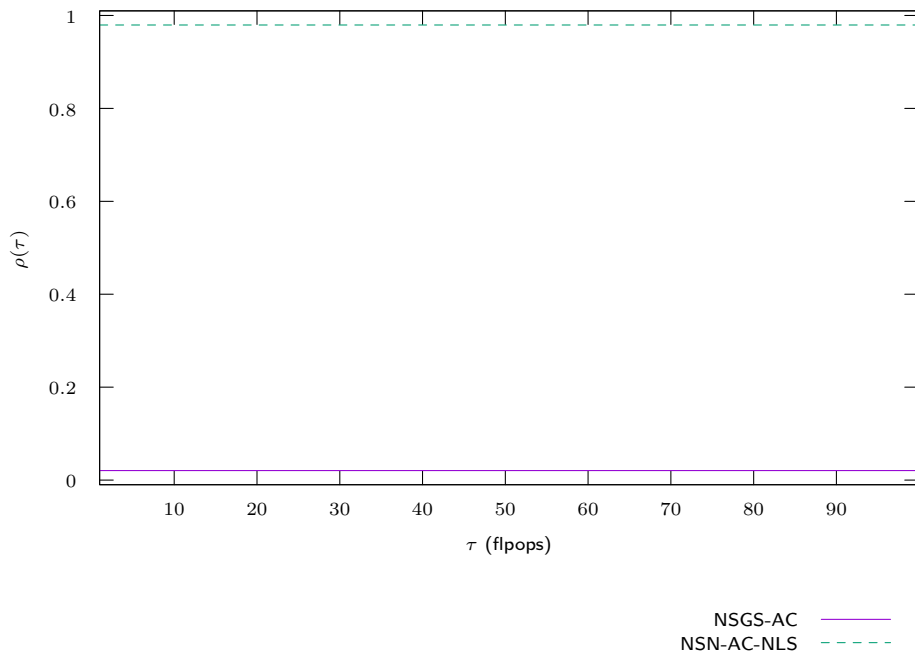


FIGURE 3 – Comparaison entre le solveur NSGS-AC et NSN-AC pour une precision de  $10^{-6}$

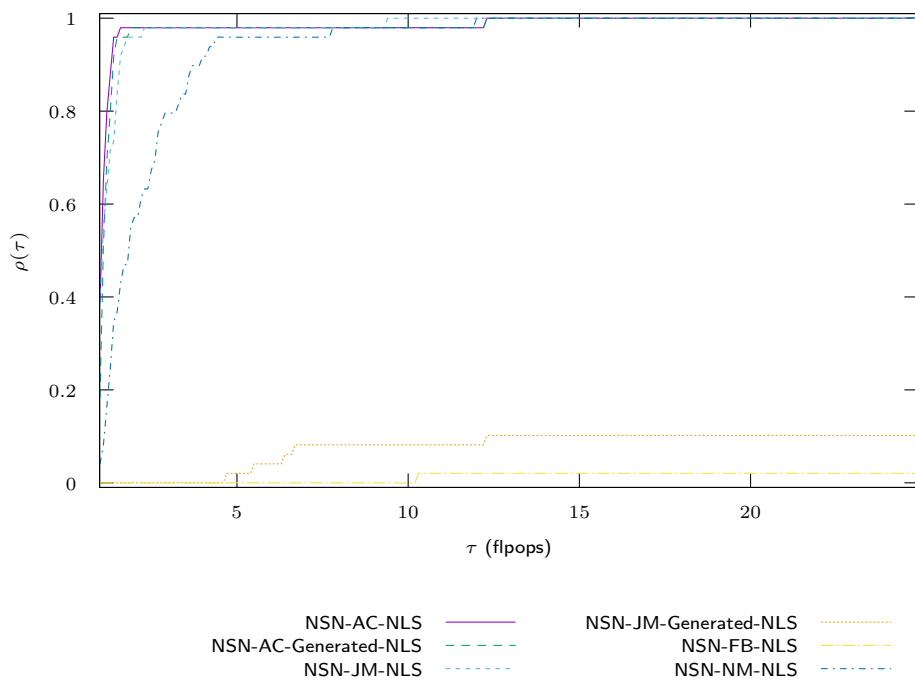


FIGURE 4 – Comparaison des solveurs NSN-\*-NLS pour une precision de  $10^{-4}$

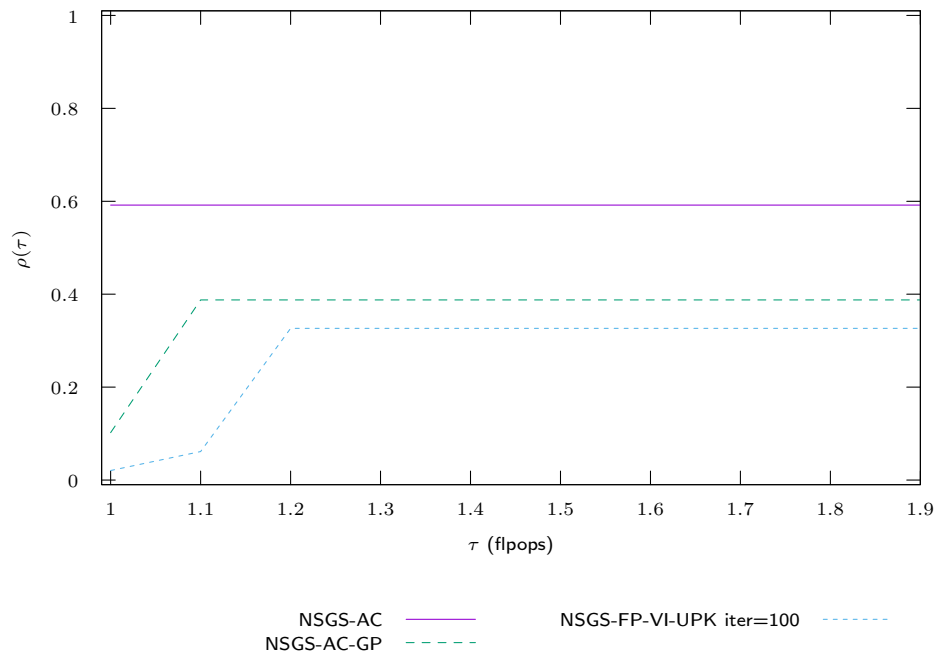


FIGURE 5 – Comparaison des solveurs NSGS pour une precision de  $10^{-4}$

- [2] P. Auteur. *Titre de l'acte*, Titre de l'ouvrage, Éditeur, page1-pageN, Année.
- [3] P. Auteur, D. Auteur. *Titre de l'ouvrage*, Éditeur, Année.